

Valproic Acid-induced Skeletal Defects and Spina Bifida in Rat Fetuses

Nikravesh M.R., Ph.D.*, Jalali M., Ph.D.

* Anatomy Department, Medical Faculty, Mashhad Medical Sciences university, Mashhad , Iran

Abstract

Purpose: Among antiepileptic drugs, valproic acid (VA) is a well known teratogenic agent. We previously reported that maternal administration of VA during critical periods of rat pregnancy can produce very rare CNS defect, syringomyelia. The purpose of the present study was whether VA can affect other organs, based on this finding, we studied the teratogenic effects of it on rat developing skeletal system.

Materials and Methods: Based on this experimental study 3 experimental groups of pregnant wistar rats were received single dose of 800 mg/kg VA on gestational days 9 -11 respectively. 3 Control groups were received the same volume of physiological serum at the same periods. On day 18th of gestation all pregnant rats were anesthetized and their fetuses were examined and, histochemical study around their vertebral region were carried out.

Results: Our finding indicated different kinds of malformations in experimental groups which was consist of growth retardation, embryonic absorbtion as well as skeletal system defect by special regard in vertebral column. These data revealed that the rate of spina bifida and vertebral abnormal flexions in experimental group 1 increased significantly in comparison experimental groups 2 and 3.

Conclusion: These findings suggest that, day 9th of rat pregnancy is critical period for vertebral column development and during this period of time VA or its metabolites may be interfere with developmental phenomena which can produce vertebral defects such as spina bifida.

Key words: Valproic acid, Malformation, Skeletal defects, Spina bifida, Rat

تأثیر اسید والپروئیک در پیدایش نقایص سیستم اسکلتی و اسپینا بیفیدا در جنین رت

* محمد رضا نیکروش. Ph.D^{*}, مهدی جلالی

* گروه آناتومی دانشکده پزشکی، دانشگاه علوم پزشکی مشهد

تاریخ وصول: اردیبهشت‌ماه ۸۶، تاریخ پذیرش: تیر‌ماه ۸۶

چکیده

هدف: با فرض بر این که تجویز اسید والپرئیک (والپرات سدیم) به عنوان داروی ضد صرع ممکن است بر تکامل سایر ارگان‌ها نیز تاثیر بگذارد در این مطالعه سعی شد تا آثار ترازوژنیک آن بر تکامل سیستم اسکلتی بررسی شود.

مواد و روشها: این بررسی یک تحقیق تجربی است. در این مطالعه از سه گروه تجویزی و سه گروه کنترل رت باردار نژاد ویستان استفاده شد. گروه‌های تجویزی به ترتیب در یکی از روزهای ۹، ۱۰ و ۱۱ بارداری مورد تجویز 800 mg/kg اسید والپروئیک قرار گرفتند و مشابه این عمل در گروه‌های کنترل با سرم فیزیولوژی انجام پذیرفت. برای بررسی ناهنجاری‌های یاد شده در روز ۱۸ بارداری، همه رتها تحت بیهوشی سازارین شده و جنینهای آنان معاینه شدند. علاوه بر این، به منظور بررسی میکروسکوپی ناحیه ستون مهره‌ها اقدام به آماده سازی بافتی شده و مورد رنگ آمیزی قرار گرفت.

یافته‌ها: نتایج مربوط به این مطالعه نشان داد که ناهنجاری‌های مختلفی در گروه‌های تجویزی دیده می‌شود که از آن جمله می‌توان به تاخیر رشد، جذبهای جنبی و نقایص سیستم اسکلتی خصوصاً در ناحیه ستون مهره‌ها اشاره نمود. این یافته‌ها بیانگر این موضوع است که میزان اسپینا بیفیدا و خمیدگی‌های غیر طبیعی ستون مهره‌ها در گروه تجویزی ۱ در مقایسه با گروه‌های تجویزی ۲ و ۳ به شکل معنی داری افزایش یافته است.

نتیجه‌گیری: چنین به نظر می‌رسد روز نهم بارداری رت زمان بحرانی تکامل ستون مهره‌ها محسوب می‌شود و در این مرحله اسید والپروئیک یا متابولیتهای آن احتمالاً به گونه‌ای بر روند تکامل تاثیر می‌گذارد که به نقایص اسکلتی و از جمله اسپینا بیفیدا منجر می‌شود.

کلید واژه‌ها: اسید والپروئیک، ناهنجاری، نقایص اسکلتی، اسپینا بیفیدا، رت

مقدمه

جدی دقت نظر داشت. مطالعات قبلی نشان داده است که این دارو در اوایل دوران بارداری می‌تواند با گذشتن از سد شواهد جفتی وارد گردش خون جنین شود و بسته به مقدار تجویز و زمان تاثیر گذاری آن، آثار نامطلوبی بر شکل‌گیری ساختمنهای جنبی بر جای گذارد [۱-۳]. در این رابطه

تجربه نشان داده است که در استفاده از اسید والپروئیک به عنوان یک داروی ضد صرع در دوران بارداری باید به طور

آدرس مکاتبه: مشهد، بلوار وکیل آباد، مقابل پارک ملت، دانشکده پزشکی، گروه آناتومی
E-mail: Nikravesh@hotmail.com

انتخابی می‌تواند ناحیه خاصی از سیستم اسکلتی مثل تکامل ستون مهره‌ها را تحت تاثیر قرار دهد و اگر چنین است مقایص یاد شده بیشتر به کدامیک از روزهای این محدوده زمانی خاص مربوط می‌شود.

مواد و (وشها)

برای این منظور از ۳۶ رت باکره نژاد ویستار استفاده شد که پس از آمیزش و تعیین روز صفر بارداری به طور مساوی به ۳ گروه تجربی و ۳ گروه کنترل تقسیم شدند و تحت شرایط استاندارد خانه حیوانات (آب و غذای کافی و نور و حرارت مناسب) مراقبت شدند. نمونه‌های مربوط به هریک از گروههای تجربی به ترتیب در ساعت ۸ صبح یکی از روزهای ۹، ۱۰ و ۱۱ بارداری مورد تجویز 800 mg/kg اسید والپروئیک (ساخت شرکت داروسازی Labaz فرانسه) قرار گرفتند که با استفاده از Animal feeding صورت گرفت [۱۰] و مشابه این تجویز در گروههای کنترل با استفاده از سرم فیزیولوژی انجام پذیرفت. سپس با هدف بررسی ناهنجاریهای پدید آمده در روز ۱۸ بارداری، همه رتهای باردار در گروههای تجربی و کنترل تحت بیهوشی عمیق سزارین شده و پس از شکافتن شاخه‌های رحم، جنینهای متعلق به هر مادر با ترازوی دیئتیال به سرعت توزین شده و برای معاینات بعدی به شیشه‌های محتوی فیکساتور (فرمالین ۱۰درصد) منتقل شدند. علاوه بر این، جنینهای مرده و بقایای جنینی در حال جذب در هر یک از موارد مورد شمارش و ثبت قرار گرفت. پس از مرحله تثیت، جنینهای ناهنجار متعلق به هر یک از مادران از جنینهای با ظاهر سالم جدا شده و بر اساس نوع ناهنجاریهای مشاهده شده، مقایص پدید آمده مورد دسته بندي قرار گرفت. در مرحله بعد، از جنینهایی که دارای ناهنجاریهای ستون مهره‌ای تشخیص داد شده بودند اقدام به آماده سازی بافتی و تهیه بلوكهای پارافینی شد. سپس از این نمونه‌ها برشهای

بالیینی موجود باز گو کننده این واقعیت است که هرگاه مادران باردار در اوایل دوران بارداری در معرض دریافت این دارو قرار گرفته اند در فرزندان آنان آثاری از مقایص تکاملی مختلف از جمله نقص در سیستم اسکلتی، سیستم عصبی مرکزی، دستگاه قلبی عروقی و دستگاه ادراری تناسلی وجود داشته است [۶-۷]. از سوی دیگر اگرچه در رابطه با تاثیر گذاری این دارو در ارتباط با بروز مقایص جنینی شواهد انکار ناپذیری وجود دارد اما هنوز برخی از جنبه‌های تاثیر گذاری آن ناشناخته مانده است [۷ و ۸]. در این رابطه می‌توان به تاثیر آن بر تکامل لوله عصبی و بروز مقایصی از جمله اسپینا بیفیدا و منگوسل اشاره کرد. پژوهش قبلی در این زمینه نشان داد که تجویز 600 mg/kg اسید والپروئیک در دو نوبت و به فاصله ۱۲ ساعت در روز ۹ بارداری رت می‌تواند به پیدایش نقص نادر سیستم عصبی تحت عنوان Syringomyelia منجر شده و به از دست رفتن بخش‌های وسیعی از ماده سفید و خاکستری نخاع متنه شود [۹]. علاوه بر این در پژوهش جداگانه‌ای مشخص شد که تجویز یک نوبت اسید والپروئیک به مقدار 800 mg/kg در روز دهم بارداری رت می‌تواند میزان ناهنجاریهای تکاملی سر و صورت را به شکل معنی داری افزایش دهد [۱۰].

به اعتبار این مطالعات و سایر مطالعات انجام شده می‌توان چنین نتیجه گیری نمود که تجویز این دارو در مقاطع زمانی خاصی از بارداری ممکن است بروز ناهنجاری‌های متفاوتی را در پی داشته باشد که بروز ناهنجاریهای سیستم عصبی [۶]، مقایص سیستم اسکلتی [۲] و ناهنجاریهای قلبی عروقی از آن جمله است [۱۱]. بنابراین با توجه به اینکه دوره بحرانی ارگانوژن در جنین رت بین روزهای ۹ تا ۱۱ بارداری [معادل هفته‌های سوم و چهارم زندگی جنینی انسان] قلمداد شده است [۱۲]، در این پژوهش سعی شده تا مشخص شود که آیا تجویز اسید والپروئیک بر مبنای آنچه که گفته شد، به صورت

اسکلتی بیشتر به صورت نقایص ستون مهره ای (شکل ۲) و عدم تشکیل قوس خلفی مهره ها (اسپیناپیفیدا) در ناحیه پشت بود که به طور عمده در بین جینیهای مربوط به گروه تجربی ۱ مورد مشاهده قرار گرفت (شکل ۱). تکامل غیر طبیعی اندامهای حرکتی نیز با دامنه ای متفاوت در گروههای تجربی ۱ و ۳، نمونه های دیگری از ناهنجاری بود که در جینیهای ۲ و ۳، نمونه های دیگری از ناهنجاری شد. ناهنجاریهای سر و صورت متعلق به این گروهها مشاهده شد. ناهنجاریهای سر و صورت که بخشی از نقایص جنبی مربوط به جینیهای گروه تجربی ۲ را به خود اختصاص داده بود، به صورت میکروفالتالیا، عدم تقارن صورت و هیپوپلازی ماندیبول مشاهده شد. علاوه بر این، تاخیر رشد معنی داری نیز در گروههای تجربی نسبت به کنترل وجود داشت (نتایج جدول ۱) که نمونه ای از آن در شکل ۳ نیز نشان داده شده است.

میکروسکوپی با ضخامت ۱۰ میکرون در جهت افقی تهیه شده و با استفاده از هماتوکسیلین و ائوزین مورد رنگ آمیزی قرار گرفت تا در مطالعه میکروسکوپیک هر گونه تغییر احتمالی در شکل گیری عناصر تشکیل دهنده ناحیه مهره ها بهتر مشخص شود. سپس نتایج مربوط به وزن جینیها و نقایص تکاملی ثبت شده گروههای مختلف با استفاده از ANOVA مورد آنالیز آماری قرار گرفت و از برشهای مربوط به نمونه های ناهنجار نیز پس از مطالعه میکروسکوپی، عکسبرداری شد.

یافته ها

نقایص پدید آمده در گروههای تجربی سه گانه دارای تنوع و تغییر در تعداد این ناهنجاریها و بسته به روز تجویز دارو تفاوت نشان داد (جدولهای ۱ و ۲). در این میان ناهنجاریهای

جدول ۱. نتایج جنبی حاصل از هریک از گروههای تجربی و کنترل (\pm SEM)

گروه	جهنیهای هر گروه	جهنیهای ناهنجار	تعداد جذبهای جنبی اولیه	تعداد مرگهای داخل رحمی	میانگین وزن جنبی به گرم	تعداد جذبهای	میانگین وزن	تعداد مرگهای	میانگین وزن
تجربی ۱									
کنترل ۱	۶۵ \pm ۱/۸	-	-	-	۱/۰۹ \pm ۰/۰۷	(٪/۰/۷۸ \pm ۰/۱۴****)	(٪/۰/۱۳ \pm ۰/۰۴)	۷***	(٪/۰/۱۷ \pm ۰/۰۳)
تجربی ۲	۴۹ \pm ۱/۶	۱۰	۵	(٪/۰/۸ \pm ۰/۰۶)	۰/۹۲ \pm ۰/۰۸	(٪/۰/۷۸ \pm ۰/۰۴)	۴	-	-
کنترل ۲	۶۳ \pm ۱	-	-	-	۱/۱۲ \pm ۰/۱۴	-	-	-	-
تجربی ۳	۵۳ \pm ۱	۵	۲	(٪/۰/۳ \pm ۰/۰۱)	۰/۹۷ \pm ۰/۱۱	(٪/۰/۵ \pm ۰/۰۱)	۳	-	-
کنترل ۳	۶۸ \pm ۱/۵	-	-	-	۱/۱۴ \pm ۰/۰۴۲	-	-	-	-

* مقایسه میانگین تعداد جنبیهای هر یک از گروههای تجربی، نسبت به گروههای کنترل مشابه و همچنین نسبت به همدیگر معنی دار بود ($p<0.0001$).

** نسبت جنبیهای ناهنجار در گروه تجربی ۱ نسبت به تجربی ۲ دارای اختلاف معنی داری نیست در حالی که نسبت این گروهها در مقایسه با گروه تجربی ۳ معنی دار است ($p<0.005$).

*** درصد جذبهای جنبی و مرگ های داخل رحمی نسبت به میانگین کل جنبیهای هر گروه (اعم از زنده، جذبی و مرده) محاسبه شده است.

**** مقایسه میانگین وزن جنبیهای تجربی نسبت به همدیگر معنی دار نبود در حالی که این نسبت در هر یک از گروههای تجربی نسبت به کنترل مشابه معنی دار بود ($p<0.05$).



شکل ۲. تصویر سمت راست نمای طرفی یک جنین ۱۸ روزه از گروه کنترل و سمت چپ مریبوط به یک جنین مشابه از گروه تجربی ۱ را نشان می‌دهد.

همان گونه که در تصویر به چشم می‌خورد خمیدگی ستون مهره‌ها در نمونه تجربی بیش از حد انتظار است و آن را به صورت C شکل دار آورده است. بزرگنمایی: $\times 100$



شکل ۳. مقایسه رشد یک جنین ۱۸ روزه از گروه کنترل (تصویر سمت راست) و یک جنین از گروه تجربی ۱ (تصویر سمت چپ). تاخیر رشد قابل ملاحظه‌ای در جنین تجربی مشاهده می‌شود. اختلاف میانگین وزن در جدول ۱ قید شده است. بزرگنمایی: $\times 10$

بحث

در بررسی تکامل طبیعی نخاع مشخص شده است که تشکیل لوله عصبی و تمایز آن به مغز و نخاع، یکی از موارد بسیار پیچیده دوران تکامل جنینی است. تحقیقات مختلف نشان داده است که در جریان این فرایند‌ها، القای لوله عصبی و روند تمایزات آن توسط بافت‌های مجاور انجام می‌پذیرد [۱۳-۱۵] و

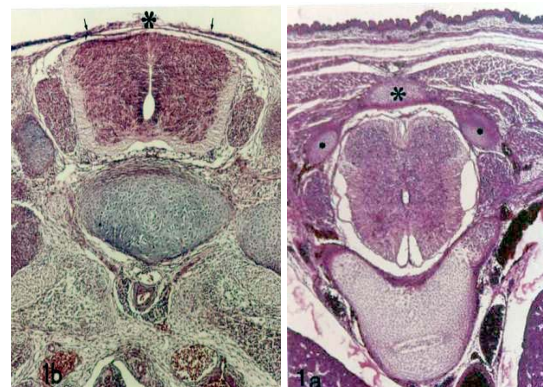
جدول ۲. نوع و درصد ناهنجاری‌های اسکلتی ایجاد شده نسبت به

تعداد جنینهای ناهنجار هر یک از گروه‌های تجربی و کنترل

گروه	نقص اندام	ناهنجاری ستون	تجربی ۱
مهره‌ها	حرکتی		
۶	(٪۲۷/۲۸) ۳	(٪۴۷/۴۷) ۶	تجربی ۱
-	-	-	کنترل ۱
(٪۱۸/۱۸) ۲	(٪۹/۰۹) ۱	(٪۲۷/۲۸) ۳	تجربی ۲
-	-	-	کنترل ۲
-	(٪۶۶/۶۶) ۴	(٪۴۷/۴۷) ۳	تجربی ۳
-	-	-	کنترل ۳

- نسبت ناهنجاری‌های ستون مهره‌ها در گروه تجربی ۱ افزایش معنی داری یافته است ($p<0.05$).

- نسبت ناقص اندامهای حرکتی در گروه تجربی ۳ افزایشی معنی داری یافته است ($p<0.005$).



شکل ۱. سمت راست (تصویر 1a) مقطع عرضی از ناحیه پشتی یک جنین گروه کنترل و اجزای تشکیل دهنده مهره را در اطراف نخاع نشان می‌دهد

در این تصویر زواید عرضی با ستاره‌های کوچک و زایده شوکی با ستاره بزرگتر و لامینا‌های مهره در بین آنها مشخص است و قوس مهره کامل شده است.

سمت چپ (تصویر 1b) متعلق به یک جنین تجربی گروه ۱ مبتلی به اسپینا بیفیدا است که زایده شوکی و لامینا‌های مهره تشکیل نگردیده و ماده عصبی نخاع فقط به وسیله لایه نازکی از پوست (ستاره و پیکان‌های نشانه) پوشیده شده است. رنگ آمیزی: هماتوکسیلین ائوزین و بزرگنمایی: $\times 100$.

و نخاع منجر می‌شود و نقایصی از قبیل آنچه که گفته شد در سیستم عصبی مرکزی بروز می‌نماید. در این رابطه گزارش شده است که ناهنجاریهای لوله عصبی در نوزادانی که مادران آنها در اوایل بارداری اسید والپروئیک دریافت نموده اند نسبت به افراد معمولی ۲۰ برابر بیشتر است [۳۱]. اثرهای تجویز اسید والپروئیک به عنوان یک تراوتژن مؤثر بر حیوانات نیز چه به صورت *In vivo* و چه به شکل *In vitro* نیز در ارتباط با پیدایش نقایص سیستم عصبی به اثبات رسیده است [۳۲-۳۴]. علاوه بر این مشخص شده است که این دارو می‌تواند به نقایصی از قبیل میکروسفالی و باز ماندن لوله عصبی در ناحیه سر یا در طول کانال نخاعی منجر شود [۳۵-۳۷]. گزارشهای بالینی در انسان نیز بروز چنین نقایصی را تایید می‌کند [۳۸-۴۰]. بنابراین با توجه به زمان بحرانی ارگانوتونز در چنین رت، هدف از این پژوهش پاسخ به این سؤوال است که در کدامیک از روزهای یاد شده تاثیر این دارو ممکن است به ایجاد نقایص تکاملی لوله عصبی در ناحیه نخاع یا سیستم اسکلتی مجاور با آن منجر شده و پیدایش اسپینا بیفیدا را به دنبال داشته باشد. با توجه به اینکه سطح سرمی اسید والپروئیک با گذشت حدود ۳۰ دقیقه پس از تجویز به بالاترین حد رسیده و حدود ۳ ساعت ثابت می‌ماند [۴۱]، طبیعی به نظر می‌رسد که تاثیر این دارو در هر یک از روزهای یاد شده و حتی در برهه زمانی خاص متعلق به هر روز بتواند در ارتباط با ناهنجاری زایی آثار متفاوت و متغیری بر جای گذارد. از سوی دیگر باید در نظر داشت که بروز بعضی از ناهنجاریها از قبیل نقایص ستون مهره‌ها در ارتباط با تجویز اسید والپروئیک، نقایص وابسته به دوز محسوب می‌شود [۲ و ۴۲].

نتایج حاصل از این مطالعه نیز بیانگر این موضوع است که بروز تکامل غیر طبیعی ارگانهای مختلف که تحت تاثیر اسید والپروئیک به وقوع می‌پیوندد، در هر یک از روزهای یاد شده

خود نیز متقابلاً بر این بافتها آثار تکاملی مؤثر و تعیین کننده‌ای دارد [۱۶ و ۱۷]. از جمله این بافتها می‌توان از موانشیم تشکیل دهنده اسکلروتوم و زایده نوتوكورد نام برد که هریک از آنان طی مراحل اولیه دوران جنینی (Embryonic period) با لوله عصبی در حال تکامل میان کنشهای متفاوتی دارند [۱۸-۲۰].

با وجود همه پژوهش‌های انجام شده، در رابطه با شکل گیری و مورفوژنز لوله عصبی هنوز دامنه مطالعات در این زمینه اندک است و بسیاری از پرسشها در ارتباط با تکامل غیر طبیعی لوله عصبی و بسته نشدن بخش‌هایی از آن که به اسپینا بیفیدا منجر می‌شود بی‌پاسخ مانده است. در عین حال بعضی از محققین کوشیده اند تا با استفاده از بعضی از پستانداران کوچک موتابیون یافته از قبیل موش Loop-tail (که ناهنجاری های شدیدی را در تکامل نخاع از خود نشان می‌دهد) روند تکامل طبیعی و غیر طبیعی لوله عصبی را مقایسه نمایند [۲۱]. با تعمیم چنین یافته‌هایی به اثر گذاری بعضی از تراوتژن‌ها بر تکامل لوله عصبی، شاید بتوان تا حدودی مکانیسم اثر گذاری ترکیباتی از قبیل اسید والپروئیک را که ژنوم موجود زنده در حال شکل گیری را تهدید می‌کند و مورفوژنز لوله عصبی را به مخاطره می‌اندازند مورد بحث و تفسیر قرار داد [۱۵]. در این رابطه مواد شیمیایی مختلف و بسیاری از داروها از این قاعده مستثنی نیستند. از میان این ترکیبات به اثرات ناهنجاری زایی اسید والپروئیک اشاره گردیده و بر اساس گزارشات موجود اثرات تراوتژنیک آن در انسان نیز به اثبات رسیده است [۲۲-۲۴]. گزارش‌های بالینی بر این موضوع دلالت دارد که تجویز این دارو در اوایل بارداری می‌تواند به ایجاد نقایص اسکلتی، تکامل غیر طبیعی لوله عصبی و در نتیجه بروز اسپینا بیفیدا منجر شود [۲۵-۳۰]. در چنین شرایطی بسته نشدن لوله عصبی در بخش میانی یا نواحی نوروپور قدامی یا خلفی به بروز پدیده‌های تکامل غیر طبیعی در مغز

جنینی بروز می نماید که میزان آن بسته به روز تجویز دارو تغییر می کند. در عین حال آنچه که به عنوان هدف اصلی در این مطالعه مد نظر قرار گرفت، پیدایش و میزان ناهنجاریهای لوله عصبی و نقایص تکاملی ستون مهره ها بود که به تشکیل اسپینا بیفیدا منجر می شود. در گزارشهای مربوط به چگونگی شکل گیری نخاع از سوی بسیاری از محققین به این موضوع اشاره شده است که چگونه در اوایل دوران مورفوژنز و تشکیل لوله عصبی، نتوکورد در تماس نزدیک با نوروپی تیلوم عمل می کند [۴۳ و ۴۴]. در پژوهشهای قبلی که در زمینه تکامل طبیعی لوله عصبی و نقش میانکنش های مربوط به این جنبه از تکامل جنینی صورت گرفت به این موضوع اشاره شد که ارتباط مولکولی نتوکورد و نورو اپی تیلوم پیش ساز نخاع به چه شکلی آشکار می شود و از چه مکانیسمهای تبعیت می کند [۴۵-۴۷]. این ارتباط که در مرحله القای اولیه اکتودرم و القای نوروپی تیلوم برای تمایزات بعدی صورت می پذیرد توسط بسیاری از پژوهشگران دیگر نیز مورد تأیید قرار گرفته است [۴۸ و ۴۹]. امروزه این موضوع به عنوان یک اصل، پذیرفته شده است که لوله عصبی نیز به سهم خود بر روی سلولهای مزودرمی اثر متقابل می گذارد و این تأثیر در زمینه شکل گیری مزانشیم اسکلروتوم از سومایت و مهاجرت آنها به سوی نتوکورد صورت می گیرد [۵۰ و ۵۱]. به اعتبار نتایج حاصل از این پژوهش که نقص موضعی نخاع توانسته است روند تمایز نتوکورد را نیز در این سطوح تحت تأثیر قرار دهد، قبول این نکته منطقی به نظر می رسد که اسید والپرولیک به عنوان یک تراوتزن مؤثر می تواند بر نوروپی تیلوم جنینی که منشاء تمایزات نورونی لوله عصبی محسوب می شود تأثیر بگذارد [۲۵] و از این راه صدمات جبران ناپذیری بر تکامل نخاع وارد نماید که ناهنجاریهایی از قبیل اسپینا بیفیدا می تواند بخشی از پیامدهای آن باشد. به علاوه این تأثیر گذاری که احتمالاً از طریق ایجاد

(۹ تا ۱۱) بارداری رت تفاوت پیدا می کند. در این رابطه مشخص شد که بخش عمده ای (۳۱/۵درصد) از ناهنجاریها، متعلق به روز نهم بارداری است که در این مرحله در حد قابل ملاحظه ای (۴/۴درصد) از این تعداد را، ناهنجاریهای ستون مهره ها تشکیل می دهد. بر اساس این یافته ها تعداد گذبهای جنینی و مرگهای داخل رحمی نیز نسبت به سایر گروهها افزایش نشان می دهد. بنابراین چنین به نظر می رسد که تاثیر این دارو در روز نهم بارداری علاوه بر ایجاد ناهنجاری نقایص مهره ای و اسپینا بیفیدا، در سطح گستردۀ ای به مرگ جنینی نیز منجر می شود. بر اساس این یافته ها اگر چه از آثار امبریوتوكسیک این دارو در روز دهم نیز کاسته نشده است اما در مقایسه با سایر روزها به نظر می رسد که نقایص سر و صورت بالاترین رتبه (۶۳/۶درصد) و پس از آن به ترتیب نقایص ستون مهره ها (۱۸درصد) و نقایص اندامهای حرکتی (۹درصد) در رتبه های بعدی اهمیت قرار گرفته اند. در روز یازدهم نیز اگرچه به شکل قابل ملاحظه ای از دامنه ناهنجاریها کاسته شده است اما هنوز شواهدی از نقایص پدید آمده به چشم می خورد که بیشتر به تمایز نهایی اندامهای حرکتی محدود می شود. مقایسه تعداد جنینها نیز بر این موضوع دلالت دارد که اختلاف در تعداد آنها در هر یک از این روزها نسبت به گروههای کترول و نیز در گروههای تجربی نسبت به همدیگر معنی دار به نظر می رسدند. این موضوع ثابت می کند که علاوه بر اینکه اسید والپرولیک از راه تاثیر گذاری بر مراحل رشد و تکامل جنینی مانع از ارگانوژنز طبیعی می شود، با اختلال در روند تمایز، فرایند تکثیر سلولی را نیز در بافت‌های جنینی با مشکل مواجه می نماید که کاهش وزن معنی دار جنینهای تجربی نسبت به کترول دلیل دیگری بر این موضوع محسوب می شود. به هر حال پیدایش ناهنجاریهای متفاوت در روزهای ۹ تا ۱۱ بارداری رت نشان داد که نقایص تکاملی گوناگونی طی این برهه از زندگی

مهره‌ها با اشکال مواجه نماید تا آنجا که نقص در تشکیل اجزای ساختمانی مهره‌ها و ناهنجاریهای اسکلت محوری را نیز به دنبال داشته باشد.

اختلال در سیگنالهای تکاملی، مهاجرت سوللهای مزانشیمی و نحوه تراکم آنها در اطراف نوتوكورد به وقوع می‌پیوندد ممکن است تمایزات بعدی را نیز در جهت شکل‌گیری پیش‌ساز

References

- Medor KJ, Baker GA, Finnell RH, Kalayjian LA, Liporace JD, Loring DW, Mawer G, Pennell PB, Smith JC, Wolff MC.** NEAD Study Group. In utero antiepileptic drug exposure: fetal death and malformations. *Neurology* 2006; 67(3): 407-12.
- Vajda FJ, Eadie MJ.** Maternal valproate dosage and foetal malformations. *Acta Neurol Scand*. 2005; 112(3):137-43.
- Spiegelstein O, Chatterjee N, Alexander G, Finnell RH.** Teratogenicity of valproate conjugates with anticonvulsant activity in mice. *Epilepsy Res* 2003; 57(2-3):145-52.
- Rengasamy P, Padmanabhan RR.** Experimental studies on cervical and lumbar ribs in mouse embryos. *Congenit Anom* 2004; 44(3): 156-71.
- Okada A, Fujiwara M.** Molecular approaches to developmental malformations using analogous forms of valproic acid. *Congenit Anom* 2006; 46(2): 68-75.
- Sodhi P, Poddar B, Parmar V. Fatal cardiac malformation in fetal valproate syndrome. *Indian J Pediatr*, 2001; 68(10): 989-90.
- Kostrouchová M, Kostrouch Z, Kostrouchová M.** Valproic acid, a molecular lead to multiple regulatory pathways. *Folia Biol* 2007; 53(2): 37-49.
- Walmod PS, Foley A, Berezin A, Ellerbeck UH, Nau E, Bock V.** Cell motility is inhibited by the antiepileptic compound, valproic acid and its teratogenic analogues. *Cell Motil Cytoskeleton* 1998; 40: 220-37.
- Nikravesh MR, Jalali M.** Valproic Acid-induced Syringomyelia in Rat Fetuses. *J Hamadan Univ Med Sci* 2005; 4: 5-12.
- Nikravesh MR, Jalali Mehdi.** Valproic Acid-induced Time Dependent Craniofacial Defects in Wistar Rat Fetuses, *Iran J Anat Sci* 2005, 2(4): 67-74.
- Daniels T, Gallagher M, Tremblay G.** Effects of valproic acid on cardiac metabolism. *Can J Physiol Pharmacol* 2004; 82(10): 927-33.
- O'Rahilly S.** Early human development and the chief source of information on staged human embryos. *Eur J Obstet Gynec Reprod Biol* 1979; 9:273.
- Verrotti A, Manco R, Matricardi S, Franzoni E, Chiarelli F.** Antiepileptic drugs and visual function. *Pediatr Neurol* 2007; 36(6): 353-60.
- Padmanabhan R, Shafiullah M, Benedict S, Nagelkerke N.** Effect of maternal exposure to homocystine on sodium valproate-induced neural tube defects in the mouse embryos. *Eur J Nutr* 2006; 45(6): 311-9.
- Massa V, Cabrera RM, Menegola E, Giavini E, Finnell RH.** Valproic acid-induced skeletal malformations: associated gene expression cascades. *Pharmacogenet Genomics* 2005; 15(11): 787-800.
- Bumcrit D, McMahon A.** Somite differentiation: Sonic signals somites. *Curr Biol* 1995; 5(6): 612-4.
- Charrier J, Lapointe F, Douarin N, Tallet M.** Anti-apoptotic role of sonic hedgehog protein at the early stages of neural system organogenesis. *Development* 2001; 128(20): 4011-20.
- Pons S, Martí E.** Sonic hedgehog synergizes with the extracellular matrix protein vitronectin to induce spinal motor neuron differentiation.

- Development 2000; 127(2): 333-42.
19. Marti E. Expression of chick BMP-1/Tolloid during patterning of the neural tube and somites. Mech Dev 2000; 91(1-2): 415-9.
 20. Hayes A, Benjamine M, Ralphs J. Extracellular matrix in development of the intervertebral disc. Matrix Biol 2001; 20(2): 107-21.
 21. Shum, AW, Copp AJ. Regional differences in morphogenesis of the neuroepithelium suggest multiple mechanisms of spinal neurulation in the mouse. Anat Embryol 1996; 194: 65-73.
 22. Turner S, Sucheston ME, Philipp RM, Paulson RB. Teratogenic effects on the neuroepithelium of the CD-1 mouse embryo exposed in utero to sodium valproate. Teratology 1990, 41: 421-442.
 23. Lindhout D, Omtzigt JG, Cornel MC. Spectrum of neural tube defects in 34 infants prenatally exposed to antiepileptic drugs. Neurology 1992; 42: 111-8.
 24. Briner W, Lieske R. Arnold-Chiari-like malformation associated with a valproate model of spina bifida in the rat. Teratology 1995; 52: 306-11.
 25. Defoort EN, Kim PM, Winn LM. Valproic acid increases conservative homologous recombination frequency and reactive oxygen species formation: a potential mechanism for valproic acid-induced neural tube defects. Mol Pharmacol. 2006; 69(4):1304-10.
 26. Lindhout D, Schmidt D. In utero exposure to valproate and neural tube defects. Lancet 1986; 1: 1392-3.
 27. Hrubec TC, Yan M, Ye K, Salafia CM, Holladay SD. Valproic acid-induced fetal malformations are reduced by maternal immune stimulation with granulocyte-macrophage colony-stimulating factor or interferon-gamma. Anat Rec A Discov Mol Cell Evol Biol 2006; 288(12): 1303-9.
 28. Okada A, Onishi Y, Aoki Y, Yagen B, Sobol E, Bialer M, Fujiwara M. Teratology study of derivatives of tetramethylcyclopropyl amide analogues of valproic acid in mice. Birth Defects Res B Dev Reprod Toxicol 2006; 77(3): 227-33.
 29. Omtzigt JG, Los FJ, Grobbe DE, Pijpers L, Jahoda MG. The risk of spina bifida aperta after first trimester exposure to valproate in a prenatal cohort. Neurology 1992; 42: 119-25.
 30. Omtzigt JG, Nau H, Los F J, Pijpers L, Lindhout D. The disposition of valproate and its metabolites in the late first trimester and early second trimester of pregnancy in maternal serum, urine, and amniotic fluid: effect of dose comedication and the presence of spina bifida. Eur J Clin Pharmacol 1992; 43: 381-8.
 31. Bjerkedal T, Czeizel AA, Goujard J, Kallen B. Valproic acid and spina bifida. Lancet 1982; 2: 1096.
 32. Bruckner A, Lee YJ, O'Shea KS, Henneberry RC. Teratogenic effects of valproic acid and diphenylhydantoin on mouse embryos in culture, Teratology 1983, 27: 29-42.
 33. Copp AJ, Brook, Estibeiro P. Cockcroft, The embryonic development of mammalian neural tube defects. Prog Neurobiol 1990; 35: 363-403.
 34. Genton P, Semah F, Trinka E. Valproic acid in epilepsy : pregnancy-related issues. Drug Saf 2006; 29(1): 1-21.
 35. Koren G, Nava-Ocampo AA, Moretti ME, Sussman R, Nulman I. Major malformations with valproic acid. Can Fam Physician 2006; 52: 441-2.
 36. Verrotti A, Tana M, Pelliccia P, Chiarelli F, Latini G. Recent advances on neural tube defects with special reference to Valproic Acid. Endocr Metab Immune Disord Drug Targets 2006; 6(1): 25-31.
 37. Oberemm A, Kirschbaum F. Valproic acid induced abnormal development of the central nervous system of three species of amphibians: Implications for neural tube defects and alternative experimental systems. Teratog Carcinog Mutagen 1992; 2: 251- 62.
 38. Omtzigt JG, Los FJ, Grobbe DE, Pijpers L, Jahoda MG. The risk of spina bifida aperta after first trimester exposure to valproate in a prenatal

- cohort. Neurology 1992; 42: 119–25.
- 39. Maekawa M, Ohta K, Katagiri R, Ueta E, Naruse I.** Exencephaly induction by valproic acid in the genetic polydactyly/arhinencephaly mouse, Pdn/Pdn. Congenit Anom 2005; 45(4): 132-6.
- 40. Verrotti A, Tana M, Pelliccia P, Chiarelli F, Latini G.** Recent advances on neural tube defects with special reference to Valproic Acid. Endocr Metab Immune Disord Drug Targets 2006; 6 (1): 25-31.
- 41. Dencker L, Nau H, D'Argy R.** Marked accumulation of valproic acid in embryonic neuroepithelium of the mouse during early organogenesis. Teratology 1990; 41: 699–706.
- 42. Artama M, Auvinen A, Raudaskoski T, Isojarvi I, Isojarvi J.** Antiepileptic drug use of women with epilepsy and congenital malformations in offspring. Neurology. 2005; 64(11): 1874-8.
- 43. Kessler D, Melton D.** Vertebrate embryonic induction: mesodermal and neuronal patterning. Science 1994; 266: 596-604.
- 44. Placzek M, Dodd J, Jessell T.** The case for floor plate induction by the notochord. Current opinion in neurobiology 2000; 10: 15-22.
- 45. Nikravesh MR, Jalali M, Fazel A.** Unique Carbohydrate Appearance of the Floor Plate During Early Neurolation. Iran Biomed J 2003; 7(3): 133-7.
- 46. Nikravesh MR, Jalali M, Fazel A.** Developmental Changes of Glycoconjugates in Early Mouse Embryonic Neuroepithelium, Notochordal and Surrounding Mesenchymal Interactions. Yakhteh (Persian) 2002; 15: 157-63.
- 47. Nikravesh M R, Fazel A, Jalali M.** From mesenchyme to cartilage: Lectin histochemical studies of ventro-medial mesenchyme to the developing neural tube during embryonic period. Iran J Basic Med Sci (Persian) 2002; 5(2): 100-7.
- 48. Fam C, Tessier-Lavigne M.** Patterning of mammalian somites by surface ectoderm and notochord: evidence for sclerotome induction by hedgehog homolog. Cell 1994; 79(7): 1185-6.
- 49. Bronner-fraser M, Fraser S.** Differentiation of the vertebrate neural tube. Curr Cell Biol 1997; 9: 885-91.
- 50. Bagnall K, Sanders E.** The binding pattern of peanut lectin associated with sclerotome migration and the formation of the vertebral axis in the chick embryo. Anat Embryol 1989; 180(5): 505-13.
- 51. Gotz W, Qundamatteo F.** Glycoconjugate distribution in early human notochord and axial mesenchyme. Acta Histochem 2001; 103(1): 21-35.